
Использование частично усредненных уравнений Навье-Стокса для моделирования турбулентных течений

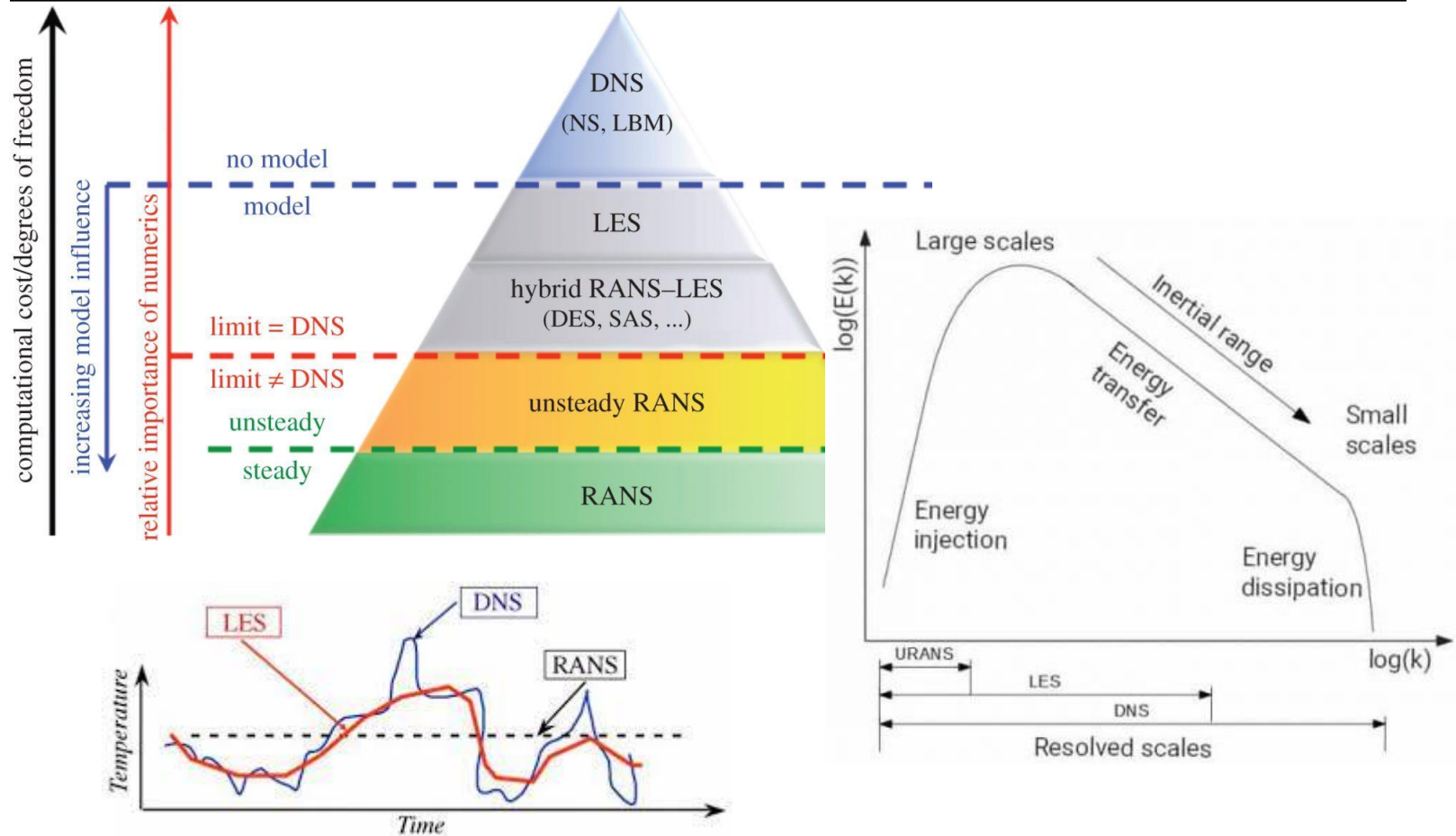
П.А. Кучугов, В.Ф. Тишкин

ФИЦ Институт прикладной математики им. М.В. Келдыша РАН

**XVI Международная конференция «Забабахинские
научные чтения»**

г. Снежинск, Челябинская обл., РФ,
29 мая - 02 июня 2023

Подходы к моделированию турбулентности



Deck S., Gand F., Brunet V. et al., High-fidelity simulations of unsteady civil aircraft aerodynamics: stakes and perspectives. Application of zonal detached eddy simulations, *Phil. Trans. R. Soc. A*, 372, 20130325, 2014, [doi: 10.1098/rsta.2013.0325](https://doi.org/10.1098/rsta.2013.0325).

Система уравнений Навье-Стокса

$$\left\{ \begin{array}{l} \frac{\partial \rho}{\partial t} + \frac{\partial}{\partial x_i} (\rho v_i) = 0 \\ \frac{\partial}{\partial t} (\rho C_\alpha) + \frac{\partial}{\partial x_i} (\rho C_\alpha v_i) = 0 \\ \frac{\partial}{\partial t} (\rho v_i) + \frac{\partial}{\partial x_i} (\rho v_i v_j + p \delta_{ij}) = \frac{\partial \sigma_{ij}}{\partial x_j} + \rho g_i \\ \frac{\partial}{\partial t} (\rho E) + \frac{\partial}{\partial x_i} (\rho E v_i + p v_i) = \frac{\partial}{\partial x_i} (v_j \sigma_{ij} - q_i) + \rho g_i v_i \\ p = p(\rho, \varepsilon) \end{array} \right.$$

$$\sigma_{ij} = \mu \left(\frac{\partial v_j}{\partial x_i} + \frac{\partial v_i}{\partial x_j} - \frac{2}{3} \frac{\partial v_k}{\partial x_k} \delta_{ij} \right) \quad \text{- тензор вязких напряжений}$$

Уравнения Навье-Стокса, усреднённые по Рейнольдсу/Фавру

$$f = \bar{f} + f', \quad f = \hat{f} + f'', \quad \hat{f} = \overline{\rho f} / \bar{\rho}$$

$$\overline{f + g} = \bar{f} + \bar{g}, \quad \overline{\alpha f} = \alpha \bar{f}, \quad \overline{f g} = \bar{f} \bar{g}, \quad \bar{\alpha} = \alpha, \quad \overline{\frac{\partial f}{\partial x_i}} = \frac{\partial \bar{f}}{\partial x_i}$$

$$\left\{ \begin{array}{l} \frac{\partial \bar{\rho}}{\partial t} + \frac{\partial}{\partial x_i} (\bar{\rho} \hat{v}_i) = 0 \\ \frac{\partial}{\partial t} (\bar{\rho} \hat{C}_\alpha) + \frac{\partial}{\partial x_i} (\bar{\rho} \hat{C}_\alpha \hat{v}_i) = 0 \\ \frac{\partial}{\partial t} (\bar{\rho} \hat{v}_i) + \frac{\partial}{\partial x_i} (\bar{\rho} \hat{v}_i \hat{v}_j + \bar{p} \delta_{ij}) = \frac{\partial \bar{\sigma}_{ij}}{\partial x_j} - \frac{\partial}{\partial x_j} (\overline{\rho v_i'' v_j''}) \\ \frac{\partial}{\partial t} (\bar{\rho} \hat{E}) + \frac{\partial}{\partial x_i} \left(\bar{\rho} \hat{E} \hat{v}_i + \bar{p} \hat{v}_i + \overline{v_i'' (\rho \varepsilon'' + p')} + \hat{v}_k \overline{\rho v_k'' v_i''} + \frac{1}{2} \overline{\rho v_k'' v_k'' v_i''} \right) = \\ = \frac{\partial}{\partial x_i} (\hat{v}_j \bar{\sigma}_{ij} + \overline{v_j'' \sigma_{ij}} - \bar{q}_i) \\ p \approx p(\bar{\rho}, \hat{E}) \\ \bar{\rho} \hat{E} = \bar{\rho} \left(\hat{\varepsilon} + \frac{1}{2} \hat{v}_k \hat{v}_k \right) + \bar{\rho} k \end{array} \right.$$

Уравнения Навье-Стокса, усреднённые по Рейнольдсу/Фавру

$$\left\{ \begin{aligned}
 & \frac{\partial \bar{\rho}}{\partial t} + \frac{\partial}{\partial x_i} (\bar{\rho} \hat{v}_i) = 0 \\
 & \frac{\partial}{\partial t} (\bar{\rho} \hat{C}_\alpha) + \frac{\partial}{\partial x_i} (\bar{\rho} \hat{C}_\alpha \hat{v}_i) = 0 \\
 & \frac{\partial}{\partial t} (\bar{\rho} \hat{v}_i) + \frac{\partial}{\partial x_i} (\bar{\rho} \hat{v}_i \hat{v}_j + \bar{p} \delta_{ij}) = \frac{\partial \bar{\sigma}_{ij}}{\partial x_j} - \frac{\partial}{\partial x_j} (\overline{\rho v_i'' v_j''}) \\
 & \frac{\partial}{\partial t} (\bar{\rho} \hat{E}) + \frac{\partial}{\partial x_i} \left(\bar{\rho} \hat{E} \hat{v}_i + \bar{p} \hat{v}_i + \overline{v_i'' (\rho \varepsilon'' + p')} + \hat{v}_k \overline{\rho v_k'' v_i''} + \frac{1}{2} \overline{\rho v_k'' v_k'' v_i''} \right) = \\
 & \quad = \frac{\partial}{\partial x_i} (\hat{v}_j \bar{\sigma}_{ij} + \overline{v_j'' \sigma_{ij}} - \bar{q}_i) \\
 & \quad p \approx p(\bar{\rho}, \hat{E}) \\
 & \bar{\rho} \hat{E} = \bar{\rho} \left(\hat{\varepsilon} + \frac{1}{2} \hat{v}_k \hat{v}_k \right) + \bar{\rho} k
 \end{aligned} \right.$$

Частично усреднённые уравнения Навье-Стокса

$$f = \langle f \rangle + f', \quad \{f\} = \langle \rho f \rangle / \langle \rho \rangle$$

$$\left\langle \frac{\partial f}{\partial x_i} \right\rangle = \frac{\partial \langle f \rangle}{\partial x_i}, \quad \left\langle \frac{\partial f}{\partial t} \right\rangle = \frac{\partial \langle f \rangle}{\partial t}, \quad \langle f + g \rangle = \langle f \rangle + \langle g \rangle, \quad \langle \alpha f \rangle = \alpha \langle f \rangle$$

$$\left\{ \begin{array}{l} \frac{\partial \langle \rho \rangle}{\partial t} + \frac{\partial}{\partial x_i} (\langle \rho \rangle \{v_i\}) = 0 \\ \frac{\partial}{\partial t} (\langle \rho \rangle \{v_i\}) + \frac{\partial}{\partial x_j} (\langle \rho \rangle \{v_i\} \{v_j\} + \langle p \rangle \delta_{ij}) = \frac{\partial \langle \sigma_{ij} \rangle}{\partial x_j} - \frac{\partial}{\partial x_j} (\langle \rho \rangle \tau_1(v_i, v_j)) \\ \frac{\partial}{\partial t} (\langle \rho \rangle \{E\}) + \frac{\partial}{\partial x_i} (\langle \rho \rangle \{E\} \{v_i\} + \langle p \rangle \{v_i\}) = \\ = \frac{\partial}{\partial x_i} (\{v_j\} \langle \sigma_{ij} \rangle - \langle q_i \rangle) - \frac{\partial}{\partial x_i} \tau_2(v_i, H) - \frac{\partial}{\partial x_i} (\langle \rho \rangle \{v_k\} \tau_1(v_k, v_i)) + \\ + \frac{\partial}{\partial x_i} \tau_2(v_j, \sigma_{ij}) - \frac{\partial}{\partial x_i} \left(\frac{1}{2} \langle \rho \rangle \tau_1(v_i, v_k, v_k) \right) \\ p \approx p(\langle \rho \rangle, \{\varepsilon\}) \\ \langle \rho \rangle \{E\} = \langle \rho \rangle \left(\{\varepsilon\} + \frac{1}{2} \{v_k\} \{v_k\} \right) + \langle \rho \rangle \frac{1}{2} \tau_1(v_k, v_k) \end{array} \right.$$

Частично усреднённые уравнения Навье-Стокса

$$f = \langle f \rangle + f', \quad \{f\} = \langle \rho f \rangle / \langle \rho \rangle$$

$$\left\langle \frac{\partial f}{\partial x_i} \right\rangle = \frac{\partial \langle f \rangle}{\partial x_i}, \quad \left\langle \frac{\partial f}{\partial t} \right\rangle = \frac{\partial \langle f \rangle}{\partial t}, \quad \langle f + g \rangle = \langle f \rangle + \langle g \rangle, \quad \langle \alpha f \rangle = \alpha \langle f \rangle$$

$$\frac{\partial \langle \rho \rangle}{\partial t} + \frac{\partial}{\partial x_i} (\langle \rho \rangle \{v_i\}) = 0$$

$$\frac{\partial}{\partial t} (\langle \rho \rangle \{v_i\}) + \frac{\partial}{\partial x_j} (\langle \rho \rangle \{v_i\} \{v_j\} + \langle p \rangle \delta_{ij}) = \frac{\partial \langle \sigma_{ij} \rangle}{\partial x_j} - \frac{\partial}{\partial x_j} (\langle \rho \rangle \tau_1(v_i, v_j))$$

$$\frac{\partial}{\partial t} (\langle \rho \rangle \{E\}) + \frac{\partial}{\partial x_i} (\langle \rho \rangle \{E\} \{v_i\} + \langle p \rangle \{v_i\}) =$$

$$= \frac{\partial}{\partial x_i} (\{v_j\} \langle \sigma_{ij} \rangle - \langle q_i \rangle) - \frac{\partial}{\partial x_i} \tau_2(v_i, H) - \frac{\partial}{\partial x_i} (\langle \rho \rangle \{v_k\} \tau_1(v_k, v_i)) +$$

$$+ \frac{\partial}{\partial x_i} \tau_2(v_j, \sigma_{ij}) - \frac{\partial}{\partial x_i} \left(\frac{1}{2} \langle \rho \rangle \tau_1(v_i, v_k, v_k) \right)$$

$$p \approx p(\langle \rho \rangle, \{\varepsilon\})$$

$$\langle \rho \rangle \{E\} = \langle \rho \rangle \left(\{\varepsilon\} + \frac{1}{2} \{v_k\} \{v_k\} \right) + \langle \rho \rangle \frac{1}{2} \tau_1(v_k, v_k)$$

Частично усреднённые уравнения Навье-Стокса: выражения для корреляционных моментов

$$\tau_1(f, g) = \{fg\} - \{f\}\{g\}$$

$$\tau_2(f, g) = \langle fg \rangle - \{f\}\langle g \rangle$$

$$\tau_1(f, g, h) = \{fgh\} - \{f\}\tau_1(g, h) - \{g\}\tau_1(f, h) - \{h\}\tau_1(f, g) - \{f\}\{g\}\{h\}$$

...

ВОЗМОЖНО ВВЕДЕНИЕ И ДРУГИХ МОМЕНТОВ

Germano M., Turbulence: the filtering approach, J. Fluid Mech., 238, 325-336, 1992, [doi: 10.1017/S0022112092001733](https://doi.org/10.1017/S0022112092001733).

Частично усреднённые уравнения Навье-Стокса: замыкающие соотношения

$$-\langle \rho \rangle \tau_1(v_i, v_j) = 2\mu_u \left(\frac{\partial \{v_j\}}{\partial x_i} + \frac{\partial \{v_i\}}{\partial x_j} - \frac{1}{3} \frac{\partial \{v_k\}}{\partial x_k} \delta_{ij} \right) - \frac{2}{3} k_u \delta_{ij}$$

$$\tau_2(v_i, H) \approx -C_p \frac{\mu_u}{Pr_t} \frac{\partial \langle T \rangle}{\partial x_i}$$

$$\langle q_i \rangle = -C_p \frac{\mu}{Pr} \frac{\partial \langle T \rangle}{\partial x_i}$$

$$\tau_2(v_j, \sigma_{ij}) - \frac{1}{2} \langle \rho \rangle \tau_1(v_i, v_k, v_k) \approx \left(\langle \mu \rangle + \frac{\mu_u}{\sigma_{ku}} \right) \frac{\partial k_u}{\partial x_i}$$

Частично усреднённые уравнения Навье-Стокса: замыкающие соотношения

$$\begin{cases} \frac{\partial}{\partial t} (\langle \rho \rangle k_u) + \frac{\partial}{\partial x_j} (\langle \rho \rangle k_u \{v_i\}) = P_{ku} - \langle \rho \rangle \varepsilon_u + T_{ku} \\ \frac{\partial}{\partial t} (\langle \rho \rangle \varepsilon_u) + \frac{\partial}{\partial x_j} (\langle \rho \rangle \varepsilon_u \{v_i\}) = C_{1\varepsilon}^* P_{ku} \frac{\varepsilon_u}{k_u} - C_{2\varepsilon}^* \frac{\langle \rho \rangle \varepsilon_u^2}{k_u} + T_{\varepsilon u} \end{cases}$$

$$\mu_u = \langle \rho \rangle C_{\mu u} k_u^2 / \varepsilon_u$$

$$P_{ku} = -\langle \rho \rangle \tau_1(v_i, v_j) \frac{\partial \{v_j\}}{\partial x_i}$$

$$T_{ku} = \frac{\partial}{\partial x_i} \left(\left(\langle \mu \rangle + \frac{\mu_u}{\sigma_{ku}} \right) \frac{\partial k_u}{\partial x_i} \right) \quad T_{\varepsilon u} = \frac{\partial}{\partial x_i} \left(\left(\langle \mu \rangle + \frac{\mu_u}{\sigma_{\varepsilon u}} \right) \frac{\partial \varepsilon_u}{\partial x_i} \right)$$

$$f_k = \frac{k_u}{k} \quad f_\varepsilon = \frac{\varepsilon_u}{\varepsilon}$$

Частично усреднённые уравнения Навье-Стокса: замыкающие соотношения

$$C_{\mu i} = C_{\mu}$$

При дополнительном предположении, что $\{v_i\} - \hat{v}_i = 0$, можно получить

$$C_{1\varepsilon}^* = C_{1\varepsilon}$$

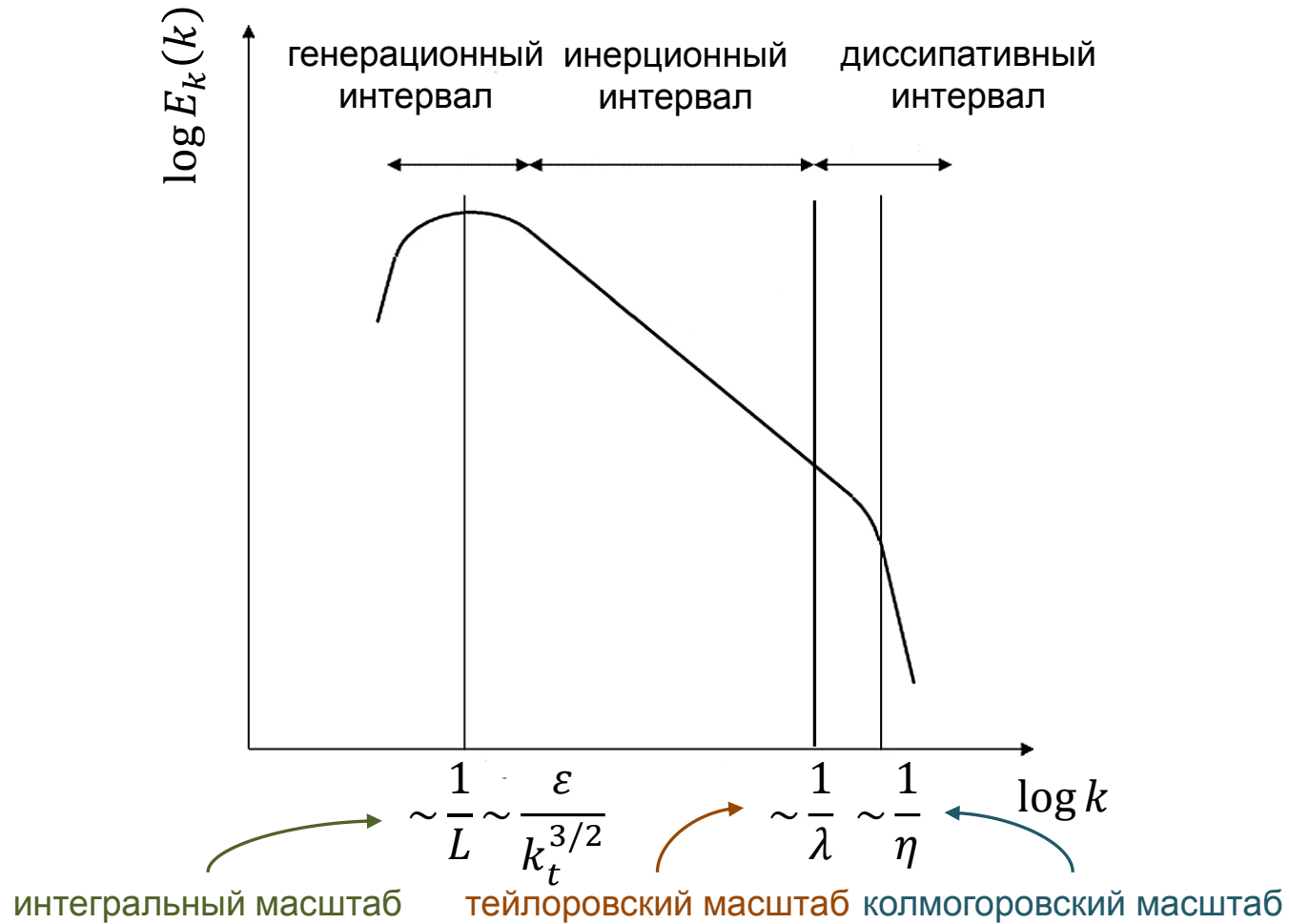
$$C_{2\varepsilon}^* = C_{1\varepsilon} + \frac{f_k}{f_{\varepsilon}} (C_{2\varepsilon} - C_{1\varepsilon})$$

$$\sigma_{ku} = \frac{f_k^2}{f_{\varepsilon}} \sigma_k, \quad \sigma_{\varepsilon u} = \frac{f_k^2}{f_{\varepsilon}} \sigma_{\varepsilon}$$

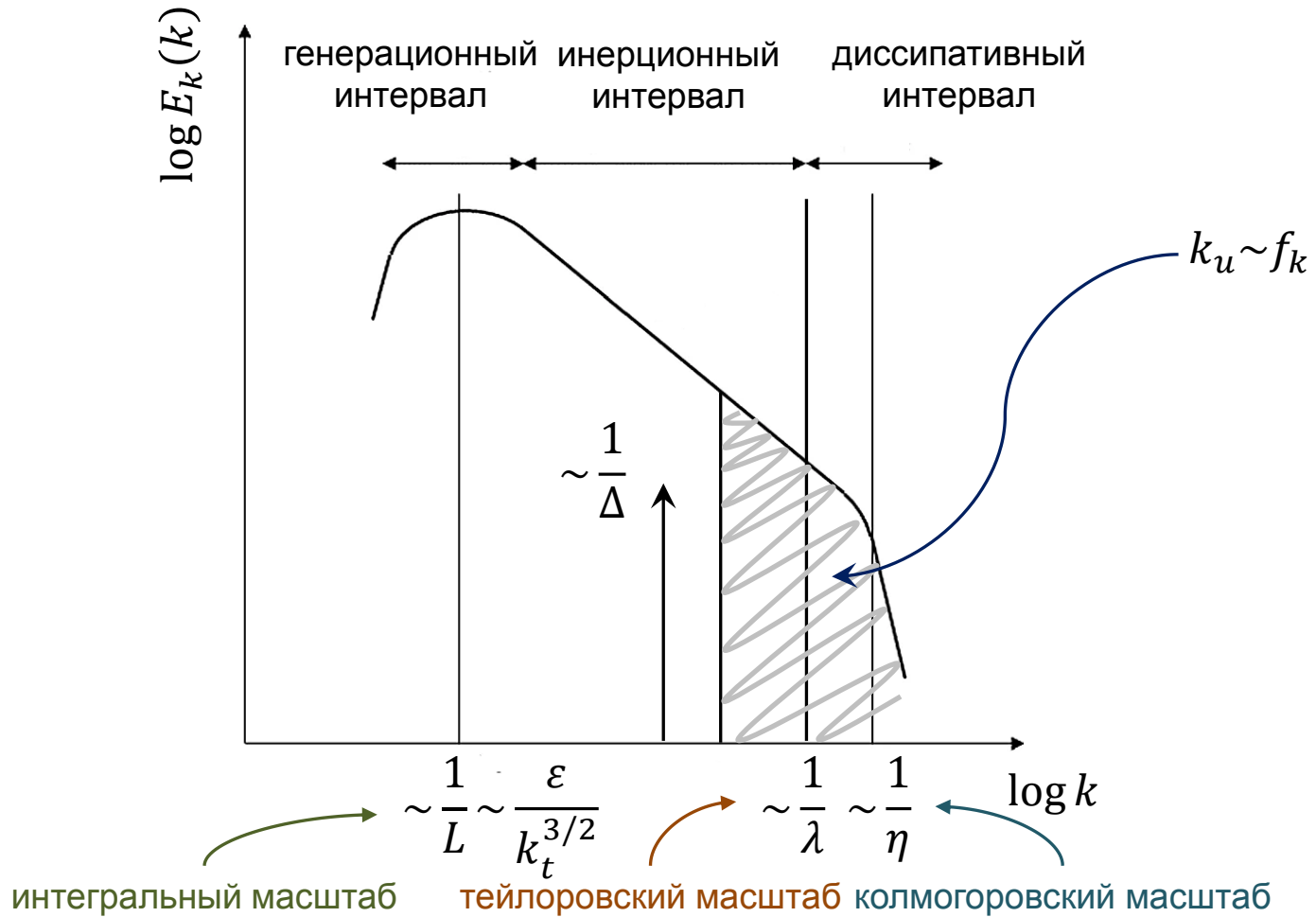
Константы стандартной k-ε модели

$$C_{\mu} = 0.09 \quad \sigma_k = 1 \quad \sigma_{\varepsilon} = 1.3 \quad C_{1\varepsilon} = 1.44 \quad C_{2\varepsilon} = 1.92$$

Частично усреднённые уравнения Навье-Стокса: масштабы турбулентности



Частично усреднённые уравнения Навье-Стокса: масштабы турбулентности

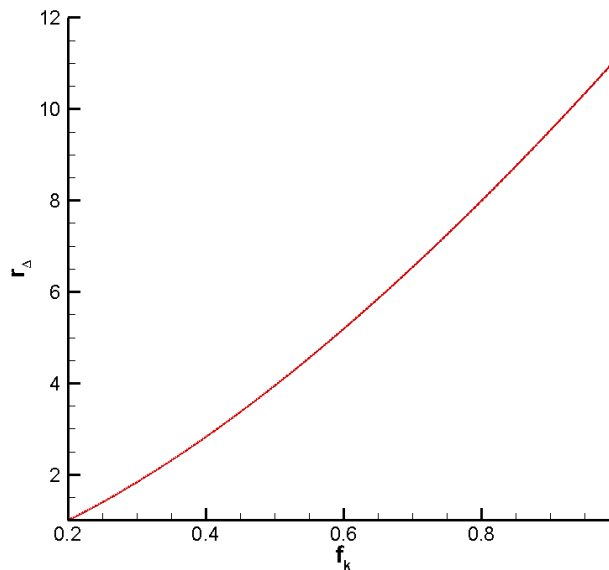
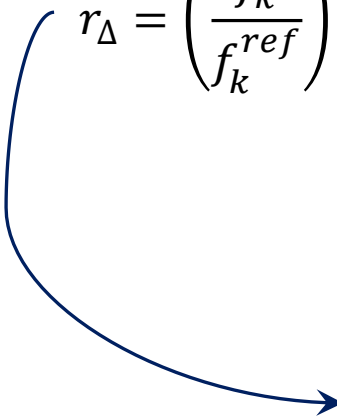


Частично усреднённые уравнения Навье-Стокса: оценка сеточного разрешения

$\Delta \leq l_r$, l_r - масштаб разрешаемых сеткой пульсаций

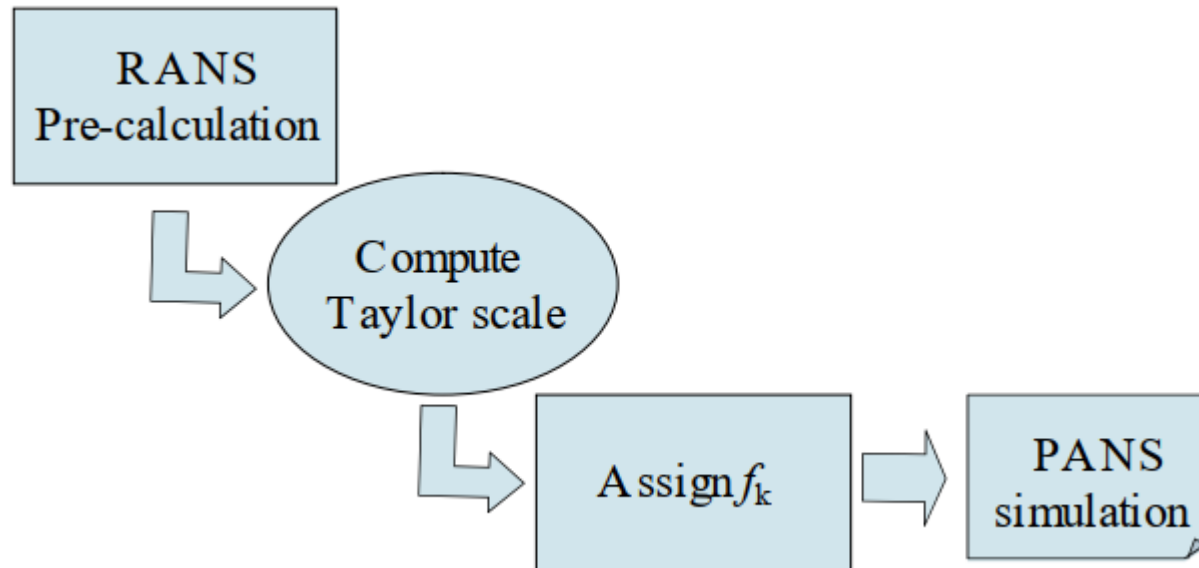
$$l_r \sim \left(\frac{v_u^3}{\varepsilon_u} \right)^{1/4}, \quad v_u = C_{\mu u} k_u^2 / \varepsilon_u, \quad \Delta \sim C_{\mu u}^{3/4} f_k^{3/2} \frac{k^{3/2}}{\varepsilon_u}$$

$$r_\Delta = \left(\frac{f_k}{f_k^{ref}} \right)^{3/2}, \quad f_k^{ref} = 0.2 \quad (\text{соответствует «хорошему» МКВ})$$



Частично усреднённые уравнения Навье-Стокса: определение параметра f_k

- Постоянное значение f_k
- Динамическое значение f_k



Klapwijk M., Lloyd T., Vaz G., On the accuracy of partially averaged Navier-Stokes resolution estimates, Int. J. of Heat and Fluid Flow, 80, 108484, 2019, [doi: 10.1016/j.ijheatfluidflow.2019.108484](https://doi.org/10.1016/j.ijheatfluidflow.2019.108484).

Численное решение системы частично усреднённых уравнений Навье-Стокса

$$\frac{\partial U}{\partial t} + \frac{\partial F_i^a}{\partial x_i} = \frac{\partial F_i^v}{\partial x_i} + \frac{\partial F_i^t}{\partial x_i} + S$$

- Линейная аппроксимация консервативных величин на грани ячеек с использованием TVD ограничителей
- Точное (итерационное) или приближённое (HLLC) решение задачи о распаде разрыва на гранях ячеек
 - Интегрирование по времени: РКЗ
- Явно- неявное интегрирование по времени подсистемы с источником

Реализовано в программном комплексе NUT3D

Тишкин В.Ф., Никишин В.В., Попов И.В., Фаворский А.П., Разносные схемы газовой динамики для задачи о развитии неустойчивости Рихтмайера-Мешкова, Мат. модел., 7, 5, 15-25, 1995.

Вихрь Тейлора-Грина: постановка задачи

$$u_0 = V_0 \sin\left(\frac{x}{L}\right) \cos\left(\frac{y}{L}\right) \sin\left(\frac{z}{L}\right)$$

$$v_0 = -V_0 \cos\left(\frac{x}{L}\right) \sin\left(\frac{y}{L}\right) \sin\left(\frac{z}{L}\right)$$

$$w_0 = 0$$

$$p_0 = P_0 + \frac{1}{16} \rho_0 V_0^2 \left(\cos\left(\frac{2x}{L}\right) + \cos\left(\frac{2y}{L}\right) \right) \left(\cos\left(\frac{2z}{L}\right) + 2 \right)$$

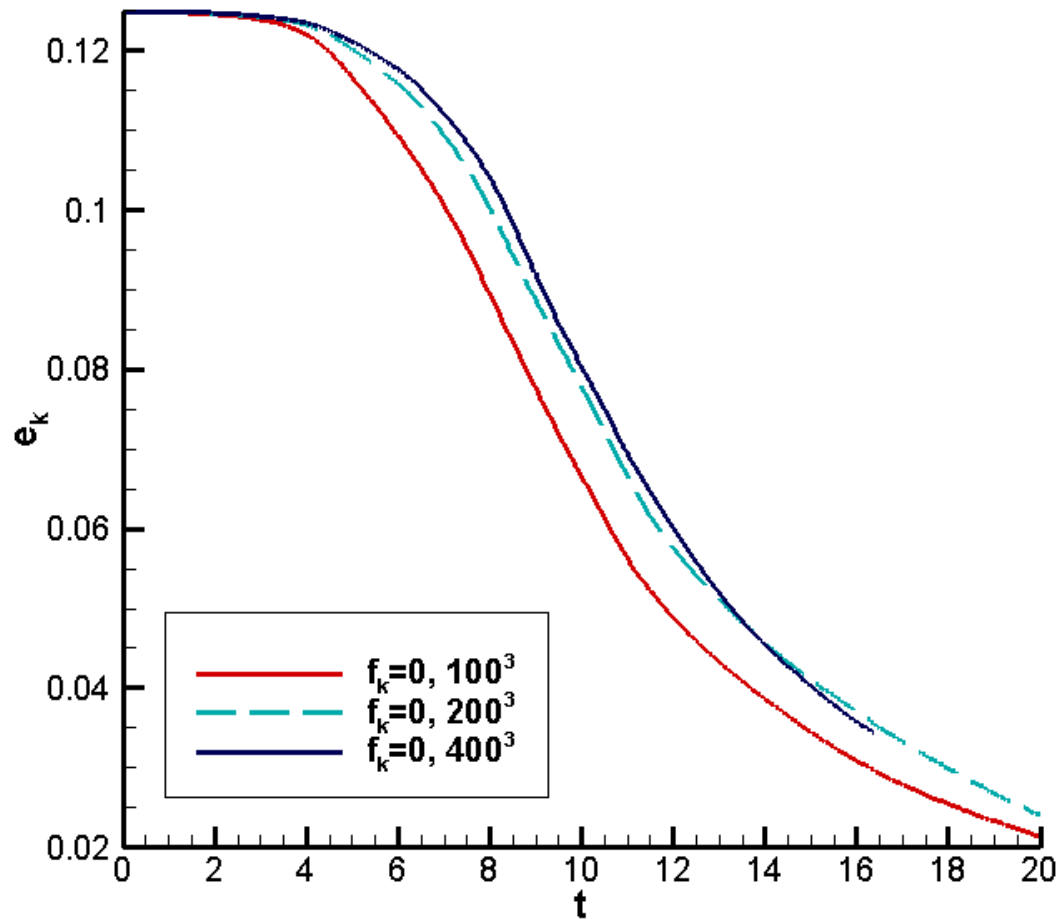
$$\rho = \rho_0^{p_0/P_0}$$

$$-\pi L \leq x, y, z \leq \pi L$$

$$\rho_0 = 1.178 \cdot 10^{-3} \quad V_0 = 10^4 \quad L = 1 \quad P_0 = 10^6 \quad \mu = 3.927 \cdot 10^{-3} \quad \gamma = 1.4$$

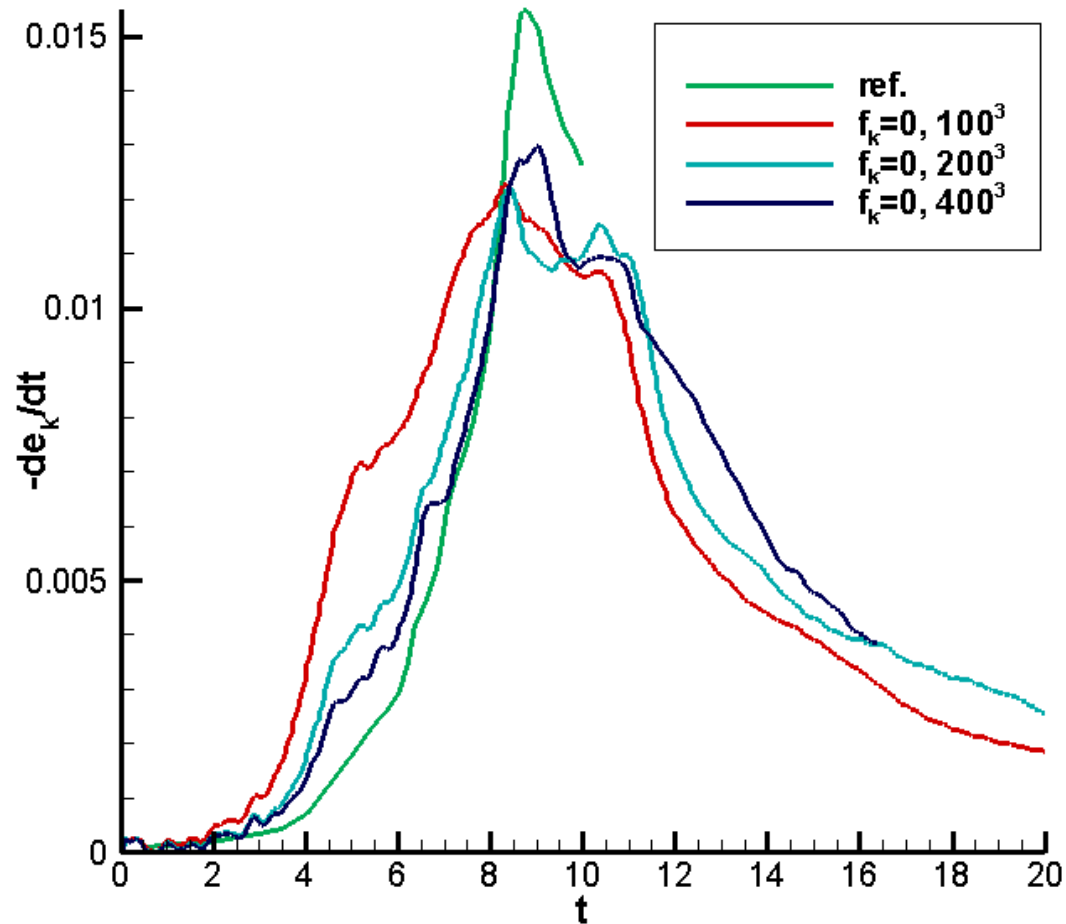
$$Re = \frac{\rho_0 V_0 L}{\mu} = 3000 \quad M_0 = \frac{V_0}{c_0} = 0.28$$

Вихрь Тейлора-Грина. Результаты без модели турбулентности



Зависимость полной кинетической энергии от времени

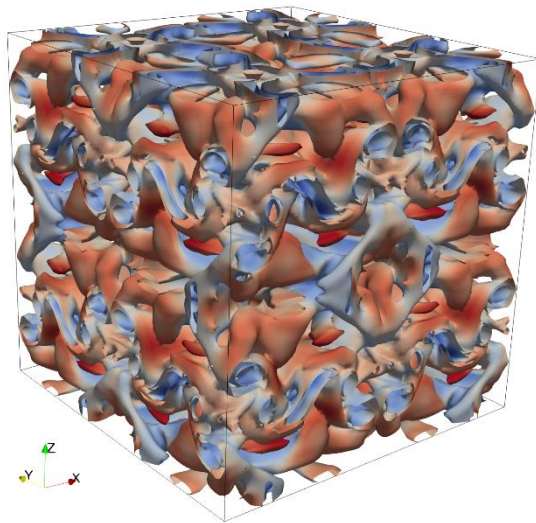
Вихрь Тейлора-Грина. Результаты без модели турбулентности



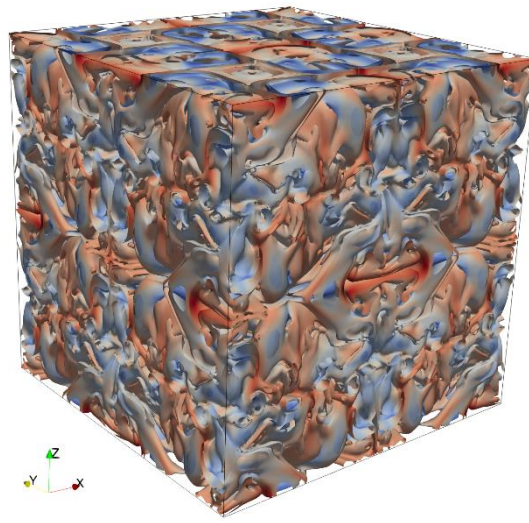
Зависимость диссипации кинетической энергии от времени

Вихрь Тейлора-Грина. Результаты без модели турбулентности

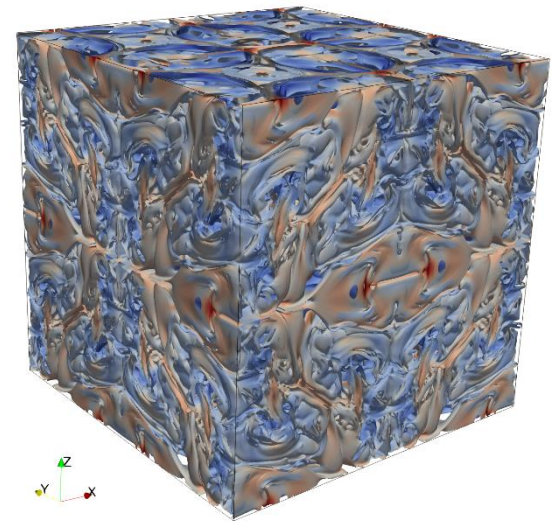
100^3



200^3

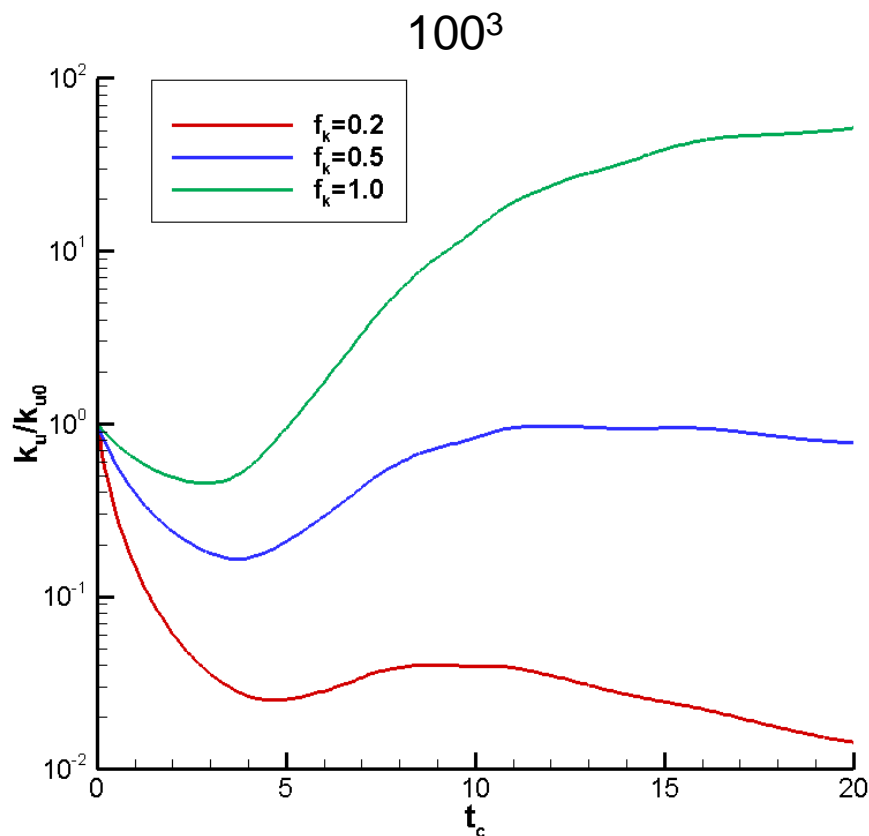


400^3



Изоповерхности амплитуды завихренности в момент времени $t_c = 16.4$, цветом обозначено значение плотности

Вихрь Тейлора-Грина. Результаты с моделью турбулентности



Временные зависимости отношения турбулентной кинетической энергии (неразрешаемые масштабы) к турбулентной кинетической энергии в начальный момент времени

Основные выводы и результаты

- Подход с частичным усреднением уравнений Навье-Стокса имеет теоретический потенциал для балансирования между вычислительной стоимостью расчёта и качеством получаемых результатов, особенно в случае динамически меняющихся значений параметров, контролирующих переход модели между предельными случаями.
- Однако с положительными свойствами гибридных методов увлекаются и негативные свойства базовых подходов, а именно, необходимость инициирования турбулентных пульсаций, определение граничных условий для турбулентных величин, отдельное описание поведения турбулентных величин вблизи стенок, калибровка моделей турбулентности для определения эмпирических констант и т.д. Большое количество сделанных допущений при получении системы уравнений затрудняет контроль области их применимости.
- Отдельного рассмотрения в рамках частично усредненных уравнений Навье-Стокса требуют замыкающие термодинамические соотношения и транспортные коэффициенты.

Спасибо
за внимание